

## II-72 長良川における塩水楔の消長について

東京大学工学部 正員 工博 島祐之

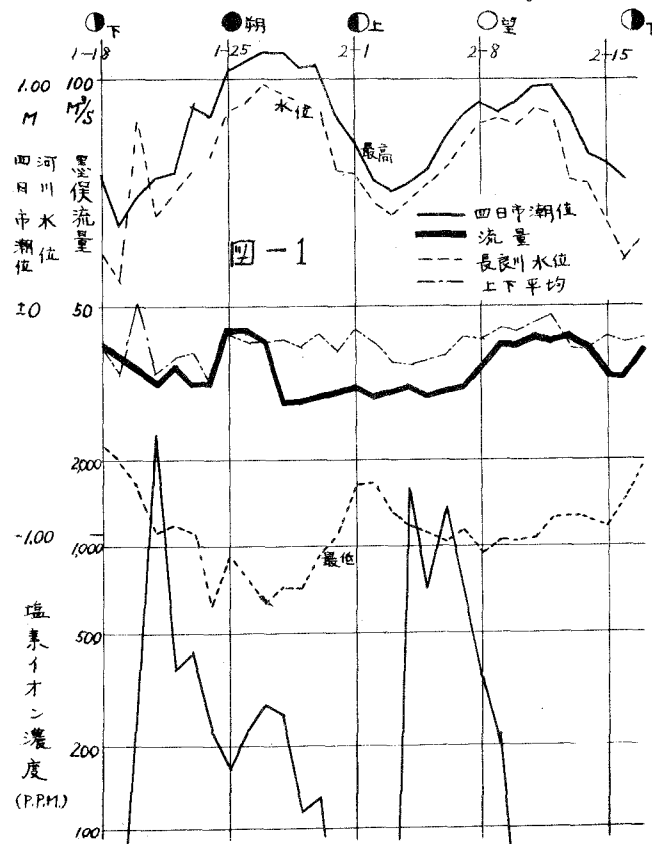
### 1. 序言

北伊勢工業用水道第二期計画は昭和33年から実施され、一部取水が昭和37年5月から開始されたが、同年10月海水の遡上による塩害を受け始め、取水を中止することがしばしばであった。これに対処するため、現象に関すると考えられる諸因子について連続的調査観測が行われ、それらの遡上現象と相関性について検討し、更に淡水と海水との交換規模を評価する水理計算を行った。

### 2. 潮汐・流量等の相関性

昭和37年10月から翌年3月までの現地観測資料から、取水点における一日毎の最高塩素イオン濃度、最高、最低及び平均水位、河川流量、四日市港最高潮位をグラフにしたもののが図-1である。これから潮位との相関性については、先づ塩素イオン濃度は、月齢10～13日の上弦より遡に至る時と、月齢24～27日。下弦より朔に至る時に高くなる事が認められる。即ちそれが高くなるのは大潮時ではなく、むしろ小潮から大潮に移る張潮時である。次に

、取水口が河口に近いにあれば河川水位と潮位はほど同じ大きさで、位相も変わらず、取水点での塩素イオン濃度と河川水位の関係は図-2のよう示される。即ち塩素イオン濃度はほぼ高潮時に最高となり、低潮時には消失する。この事は塩分が潮汐による順流、逆流と共に流下、遡上することを示す。但し高潮時の潮位が同一でも、低潮時の潮位が高い場合の直後にあらわれる塩素イオン濃度は低い場合よりも小さい。これは一見常識に反する現象と考えられるが、引潮が強力なほど河道内で縦混合が活発になつて塩水領域が増加するとも考えられると、又引潮



時に上流側の淡水が河口に大きく流失するためとも考えられ、上記の事項は困難なく理解出来る。また流量との相関性については、流量が大であれば河川水位及び流速が大となり高潮による影響は少なくなる。即ち長良川で  $17.50 \text{ m}^3/\text{秒}$  以上では塩素イオンは取水口で検出されず、 $30 \sim 45 \text{ m}^3/\text{秒}$  で高潮の影響があらわれ、満潮時は取水停止、干潮時は可能となる。又  $25 \text{ m}^3/\text{秒}$  以下では取水不能時間は非常に短くなる。流量、潮汐以外に、例えば伊勢湾台風復旧工事による土砂が浚渫あるいは地下水のくみ上げによる地盤沈下が経年的に見た塩水楔の遡上原因とも考えられるが、本文では特に触れぬこととする。

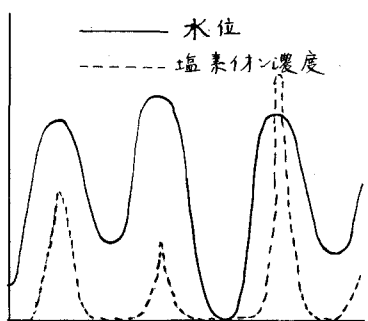


図-2

### 3. 塩水楔の運動状況と履歴現象

塩水楔の実態や運動機構について、渴水期の塩素イオン濃度の縦断分布資料によって検討した。これによると等濃度曲線は濃度が小さくなるに従って勾配は急角度になり、水面と河床を結んだ等濃度曲線の水平距離は  $500 \text{ ppm}$  で  $800 \sim 1,700 \text{ m}$ 、 $1,000 \text{ ppm}$  では  $1,300 \sim 2,100 \text{ m}$  位である。また小潮時では同一地点の上層と下層との濃度差は非常に大きく、上下二層より成る成層密度流に近い状態となっていることが想像される。そして潮差が大きい期間は上下層濃度差が小さく強混合型に

近い状態となっている。この事を考慮して潮汐と塩水楔の状態を月齢的に見ると図-3の如く表わされる。即ち月齢が上下強時よりやゝ遅れて塩水楔が生成され、3～4日間、中程度の混合となり、更に朔望時をはさんで乱れ発達し、5～6日間強混合状態となる。やがて乱れは潮差の減少に伴って減衰し2～3日間の中混合状態を経過し、上下強時に安定な楔が再び生成される。渴水期の流量がほど一定であればこの様な周期現象は潮汐が原因であると見られる。更に注目すると、潮差の大小と、混合の強弱とは完全には位相が一致せず、後者の方が前者に比し3～4日遅れているがこれは河道内の乱れの発達や減衰の機構が管路におけるそれとは同样な一種の履歴現象によるものと考えられる。即ち一旦楔が形成さればその状態は維持しやすく、かなりの潮差による擾乱がない限り楔は形成され難いことになる。塩水楔の運動距離については等濃度曲線は潮位の上下に伴い、それぞれ上流側、下流側に移動するが、その距離は小潮時で  $3,000 \text{ m}$ 、大潮時で  $6,000 \text{ m}$

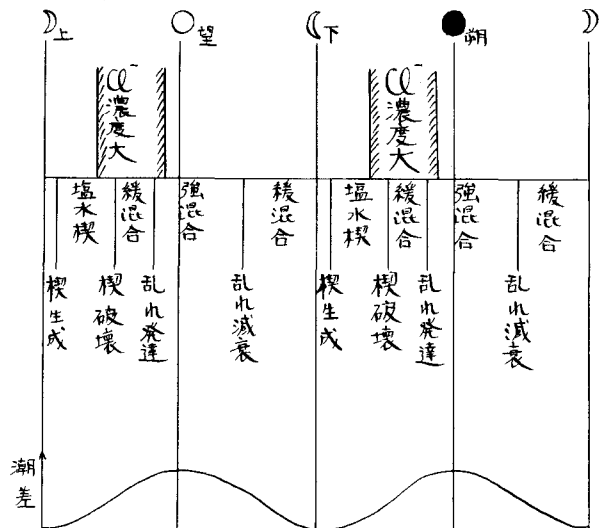


図-3

程度である。また塩水楔の侵入距離については、成層密度流における塩水楔の長さは強混合時の所定の濃度の値を示す有効長より大きいと考えられる。これは成層の場合はその先端がかなり上流側まで達するが、強混合時では乱れのため、縦断方向には水平拡散に見合う範囲しか侵入出来ないものと思われる。しかしいずれの場合でも塩水楔の長さは潮位が大きいほど、塩水楔の長さは大きくなると見られる。

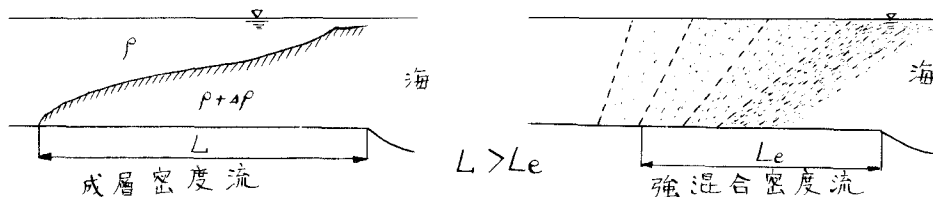


図-4

#### 4. 塩水楔の変動に関する水理計算

成戸・油島、千本松原、長島の各地点での同時水位記録から水面形は、最干潮時の水面形を基準水面とする。咸潮部の水面は殆んど水平である。したがって河口、油島間は水平とし、また成戸地亘は咸潮域の終端と考えられるので、油島、成戸間の水面形は直線的に変化すると仮定する。又前述のように長良川は強・弱混合が併存するので、傾斜した塩水楔を仮定するのは努力の割に精々か上らないので、こゝでは鉛直な境界面を持つ塩水楔を想定し、適当な濃度に相当する断面を選定し、そこを便宜的な淡水と海水との境界面とした。この境界面(塩水楔)と潮汐の水收支の体積計算によって関連づけるため、或る時刻の水面①が大時間後の水面②に変化した時、斜線部分の淡水の体積V(1)は境界面によって上の斜線部分V(2)に移動するので、河川流量をQとすると

$$V(2) = V(1) + Q \cdot \Delta t \quad (1)$$

となる。しかし時間変化及び潮位の変動があるので淡水の流失程度を示す係数ηを導入(1)を改めて

$$V(2) = V(1) + \eta \cdot Q \cdot \Delta t \quad (2)$$

とする。即ち $\eta \geq 0$ では上流からの流量が貯えられ、 $\eta < 0$ では海へ流失することになる。 $\eta$ のとりうる値の範囲は、上流から供給される淡水が海水と混合する量がぼく1日で收支がゼロになると見られるので、-1≤ $\eta$ ≤1となる。また $\eta$ の値と種々変化させると降雨によって塩水楔が河口に退く時や、反対に渇水によってそれが上流に前進するなどの様子が計算される。こゝで行なった計算対象となつた12月1日～5日では潮汐の昇降によつて $\eta = 1, 0, -1$ または $\eta = 1, -0.5, -1$ と変化させた場合にはじ実状と一致する様に思われる。また計算された塩水楔の移動距離は5.6km位となり、これは塩素イオン濃度の縦断

分布資料から求めたそれとは大体一致する。

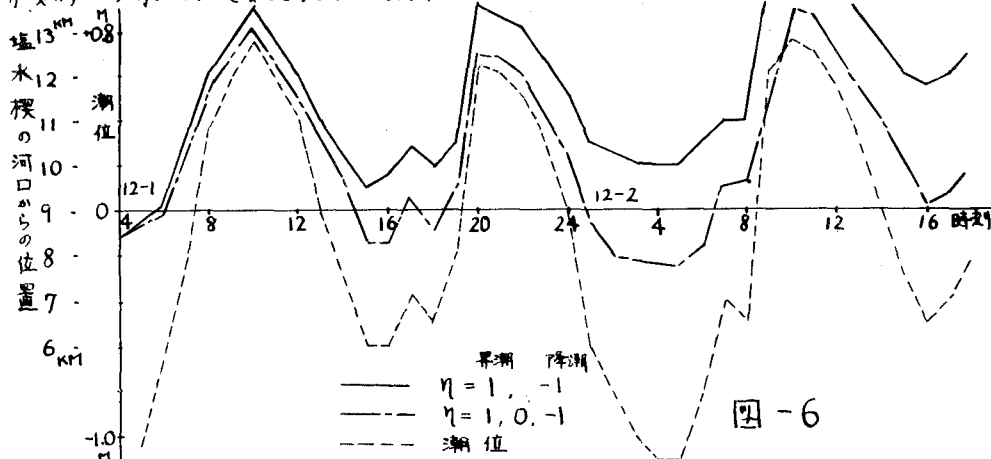


図-6

### 5. 嘔水楔の侵入防止工法

前述のように分析され、計算された嘔水楔が取水口に侵入することを防止するために、早急に実現可能と思われる工法として水流又は空気ジェットを用いる方法と流水抵抗を用いる方法が考えられるが、こゝでは後者について検討した。これは流水抵抗による擾乱と、生じる水位差によって嘔水楔の侵入を防止するものである。即ち構造物を通過する流水への抵抗係数をCとするとき(2)は変形されて

$$V(2) = Q \cdot t + \int_0^t A \cdot C \cdot \sqrt{2g(hd-hu)} dt \quad (3)$$

但し  $A$  は抵抗位置における下流側の面積

$hd$  は " " 水深

$hu$  は " " 上流側の "

更に(4)を上で微分して

$$dV/dt = Q + A \cdot C \cdot \sqrt{2g(hd-hu)} \quad (4)$$

しかし、(4)を数値積分することによって上流側と下流側の水深が一致する時刻およびその時の潮位が求められ、抵抗を設置した場合の嘔水楔の侵入限界がわかり、抵抗の効果が判定出来る。この計算結果は図-7の通りである。

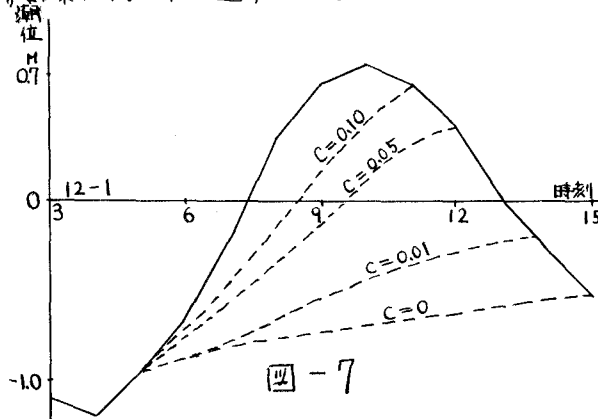


図-7